

计算流体力学作业二

黄晃 数院 1701210098

2018 年 6 月 7 日

1 问题

$[-\pi, \pi]^3$ 中周期边值的不可压流体的计算. 考虑 3D 涡-向量势公式

$$\begin{cases} \frac{\partial \omega}{\partial t} + \nabla \times (\omega \times \mathbf{u}) = \nu \Delta \omega \\ \omega = \nabla \mathbf{u}, \nabla \cdot \mathbf{u} = 0 \\ \mathbf{u}(\mathbf{x}, 0) = \mathbf{u}_0(\mathbf{x}). \end{cases}$$

1.1 数值算法思路

以一阶 Euler 为例 (之后替换成四阶显示 Runge-Kutta 方法):

- 解 $-\Delta_h \psi^n = \omega^n$
- 计算 $\mathbf{u}^n = \nabla_h \psi^n$
- 通过 $\frac{\omega^{n+1} - \omega^n}{\tau} + \nabla_h \times (\omega^n \times \mathbf{u}^n) = \nu \Delta \omega^n$ 计算 ω^{n+1}

1.2 四阶 Runge-Kutta

记 $f(\omega) = \nu \Delta \omega - \nabla_h \times (\omega \times \mathbf{u})$ 则半离散问题为

$$\frac{d\omega}{dt} = f(\omega)$$

四阶 Runge-Kutta 方法可以写作

$$\begin{aligned}\omega^{n+1} &= \omega^n + \frac{1}{6}(k_1 + 2k_2 + 2k_3 + k_4) \\ k_1 &= \tau f(\omega^n), \\ k_2 &= \tau f(\omega^n + \frac{k_1}{2}), \\ k_3 &= \tau f(\omega^n + \frac{k_2}{2}), \\ k_4 &= \tau f(\omega^n + k_3).\end{aligned}$$

2 伪谱方法

对于周期函数 $f(x)$, 其傅里叶展开为

$$f(x) = \sum_{m=-\infty}^{\infty} \hat{f}_m e^{1jm x}, \quad x \in (-\pi, \pi)$$

其中

$$\hat{f}_m = \frac{1}{2\pi} \int_{-\pi}^{\pi} f(x) e^{-1jm x} dx.$$

伪谱法实际上相当于考虑 f 在空间 S_n 中的投影

$$I_n(f(x)) = \sum_{m=-n}^{n-1} \hat{f}_m e^{1jm x}, \quad x \in (-\pi, \pi)$$

基函数 取插值节点为 $x_{i,j,k} = (\frac{(i+1/2)\pi}{n}, \frac{(j+1/2)\pi}{n}, \frac{(k+1/2)\pi}{n})$ $i, j, k = -n, -n+1, \dots, n-1$ 那么有

$$I_n(f(x)) = \sum_{i,j,k=0}^{2n-1} f(x_{i,j,k}) g_{i,j,k}(x), \quad x \in (-\pi, \pi)$$

其中 $g_{i,j,k}(x)$ 是 S_n 中满足 $g_{i,j,k}(x_{i_1,j_1,k_1}) = \delta_{(i,j,k)(i_1,j_1,k_1)}$ 的三角多项式.

利用正交性, 我们有

$$g_{i,j,k}(x) = \frac{1}{(2n)^3} \sum_{p,l,m=-n}^{n-1} e^{j(p,l,m)(x-x_{i,j,k})}$$

为了简洁起见, 下面在不引起混淆的情况下, 用 p 代替 (p,l,m) , 用 i 代替 (i,j,k) .

因此我们有

$$\begin{aligned} I_n f(x) &= \sum_{i=0}^{2n-1} f(x_i) \frac{1}{(2n)^3} \sum_{p=-n}^{n-1} e^{jp(x-x_i)} \\ &= \sum_{p=-n}^{n-1} e^{jp(x+\pi)} \frac{1}{(2n)^3} \sum_{i=0}^{2n-1} f(x_i) e^{-jp(x_i+\pi)} \end{aligned} \quad (1)$$

若我们记

$$\hat{f}_p = \frac{1}{(2n)^3} \sum_{i=0}^{2n-1} f(x_i) e^{-jp(x_i+\pi)}$$

则

$$I_n(f(x)) = \sum_{p=-n}^{n-1} \hat{f}_p e^{jp(x+\pi)}$$

注意到在节点 x_i 上有 $I_n f(x_i) = f(x_i)$ 成立, 所以我们建立 f_i , $i = 0, 1, \dots, 2n-1$ 与 \hat{f}_p , $p = -n, -n+1, \dots, n-1$ 之间的一个一一映射.

将 x_i 的值代入, 我们有

$$\begin{aligned} f_i &= \sum_{p=-n}^{n-1} \hat{f}_p e^{jp(i+1/2)\pi/n}, \quad i = -n, -n+1, \dots, n-1 \\ \hat{f}_p &= \frac{1}{(2n)^3} \sum_{i=0}^{2n-1} f(x_i) e^{-jp(i+1/2)\pi/n}, \quad p = -n, -n+1, \dots, n-1 \end{aligned} \quad (2)$$

投影 $I_n(f)$ 写成

$$I_n f(x) = \sum_{p=-n}^{n-1} \hat{f}_p e^{jpx}$$

2.1 1 维情况下对奇偶性质的保持

偶函数 对 1 维的长为 $2n$ 的偶序列 $\{f_{-n}, f_{-n+1}, \dots, f_{n-1}\}$, 即 $f_k = f_{-1-k}$, 有

$$\begin{aligned}
 \hat{f}_p &= \frac{1}{2n} \sum_{i=-n}^{n-1} f_i e^{-jp(i+1/2)\pi/n} \\
 &= \frac{1}{2n} \sum_{i=0}^{n-1} f_i e^{-jp(i+1/2)\pi/n} + f_{-1-i} e^{-jp(-1-i+1/2)\pi/n} \\
 &= \frac{1}{2n} \sum_{i=0}^{n-1} f_i (e^{-jp(i+1/2)\pi/n} + e^{-jp(-i-1/2)\pi/n}) \\
 &= \frac{1}{2n} \sum_{i=0}^{n-1} 2f_i \cos(p(i+1/2)\pi/n)
 \end{aligned}$$

所以有 $\hat{f}_p = \hat{f}_{-p}$. 且 $\hat{f}_{-n} = \frac{1}{2n} \sum_{i=0}^{n-1} 2f_i \cos(-(i+1/2)\pi) = 0$

而对 $\hat{f}_p = \hat{f}_{-p}$ 的频谱, 假设其满足 $\hat{f}_{-n} = 0$, 则其逆变换的结果 f_i 有

$$\begin{aligned}
 f_i &= \sum_{p=-n}^{n-1} \hat{f}_p e^{jp(i+1/2)\pi/n} \\
 &= \sum_{p=1}^{n-1} \hat{f}_p e^{jp(i+1/2)\pi/n} + \hat{f}_{-p} e^{j(-1-p)(i+1/2)\pi/n} + \hat{f}_0 \\
 &= \sum_{p=1}^{n-1} \hat{f}_p (e^{jp(i+1/2)\pi/n} + e^{j(-1-p)(i+1/2)\pi/n}) + \hat{f}_0 \\
 &= \sum_{p=1}^{n-1} \hat{f}_p 2 \cos(p(i+1/2)\pi/n) + \hat{f}_0
 \end{aligned}$$

则 $f_k = f_{-1-k}$ 成立

奇函数 对于奇序列, 即 $f_k = -f_{-1-k}$,

$$\begin{aligned}
 \hat{f}_p &= \frac{1}{2n} \sum_{i=-n}^{n-1} f_i e^{-jp(i+1/2)\pi/n} \\
 &= \frac{1}{2n} \sum_{i=0}^{n-1} f_i e^{-jp(i+1/2)\pi/n} + f_{-1-i} e^{-jp(-1-i+1/2)\pi/n} \\
 &= \frac{1}{2n} \sum_{i=0}^{n-1} f_i (e^{-jp(i+1/2)\pi/n} - e^{-jp(-i-1/2)\pi/n}) \\
 &= \frac{1}{2n} \sum_{i=0}^{n-1} -2j f_i \sin(p(i+1/2)\pi/n)
 \end{aligned}$$

其中 $\hat{f}_0 = 0$, 我们实际存储 $\{b_0, b_1, \dots, b_{n-1}\} = \{1j\hat{f}_1, 1j\hat{f}_2, \dots, 1j\hat{f}_{n-1}, -1j\hat{f}_{-n}\}$

则有 $b_p = \frac{1}{2n} \sum_{i=0}^{n-1} 2f_i \sin((p+1)(i+1/2)\pi/n)$

而对 $\hat{f}_p = -\hat{f}_{-p}$ 的频谱, 假设其满足 $\hat{f}_0 = 0$, 则其逆变换的结果 f_i 有

$$\begin{aligned}
 f_i &= \sum_{p=-n}^{n-1} \hat{f}_p e^{jp(i+1/2)\pi/n} \\
 &= \sum_{p=1}^{n-1} \hat{f}_p e^{jp(i+1/2)\pi/n} + \hat{f}_{-p} e^{j(-1-p)(i+1/2)\pi/n} + \hat{f}_{-n} e^{-j(i+1/2)\pi} \\
 &= \sum_{p=1}^{n-1} \hat{f}_p (e^{jp(i+1/2)\pi/n} - e^{j(-1-p)(i+1/2)\pi/n}) + (-1)^{i-1} * 1j\hat{f}_{-n} \\
 &= \sum_{p=1}^{n-1} 2j\hat{f}_p \sin(p(i+1/2)\pi/n) + (-1)^i * (-1j)\hat{f}_{-n} \\
 &= \sum_{p=1}^{n-1} 2b_{p-1} \sin(p(i+1/2)\pi/n) + (-1)^i b_{n-1} \\
 &= \sum_{p=0}^{n-2} 2b_p \sin((p+1)(i+1/2)\pi/n) + (-1)^i b_{n-1}
 \end{aligned}$$

则 $f_k = -f_{-1-k}$ 成立

2.2 FFTW

提供了 1 维的实奇 (偶) 函数的 DFT (Type-2, 3DCT, DST)

$$\begin{aligned} REDFT01 : (a_0, a_1, \dots, a_{n-1}) &\rightarrow (b_0, b_1, \dots, b_{n-1}) \\ b_p &= 2 \sum_{i=0}^{n-1} a_i \cos(p(i+1/2)/n), \quad p = 0, 1, \dots, n-1 \end{aligned} \quad (3)$$

$$\begin{aligned} REDFT10 : (a_0, a_1, \dots, a_{n-1}) &\rightarrow (b_0, b_1, \dots, b_{n-1}) \\ b_p &= a_0 + \sum_{i=1}^{n-1} a_i \cos((p+1/2)i/n), \quad p = 0, 1, \dots, n-1 \end{aligned} \quad (4)$$

$$\begin{aligned} RODFT01 : (a_0, a_1, \dots, a_{n-1}) &\rightarrow (b_0, b_1, \dots, b_{n-1}) \\ b_p &= 2 \sum_{i=0}^{n-1} a_i \sin((p+1)(i+1/2)/n), \quad p = 0, 1, \dots, n-1 \end{aligned} \quad (5)$$

$$\begin{aligned} RODFT10 : (a_0, a_1, \dots, a_{n-1}) &\rightarrow (b_0, b_1, \dots, b_{n-1}) \\ b_p &= (-1)^p a_{n-1} + \sum_{i=0}^{n-2} a_i \sin((p+1/2)(i+1)/n), \quad p = 0, 1, \dots, n-1 \end{aligned} \quad (6)$$

对于 1 维情形, 令 $N=2n$, 对偶的序列有

$$\begin{aligned} [\hat{f}_0, \hat{f}_1, \dots, \hat{f}_{n-1}] &= \frac{1}{2n} REDFT01([f_0, f_1, \dots, f_{n-1}]) \\ [f_0, f_1, \dots, f_{n-1}] &= REDFT10([\hat{f}_0, \hat{f}_1, \dots, \hat{f}_{n-1}]) \end{aligned} \quad (7)$$

对奇的序列有

$$\begin{aligned} [1j\hat{f}_1, 1j\hat{f}_2, \dots, \hat{f}_{n-1}, -1j\hat{f}_{-n}] &= \frac{1}{2n} RODFT01([f_0, f_1, \dots, f_{n-1}]) \\ [f_0, f_1, \dots, f_{n-1}] &= RODFT10([1j\hat{f}_1, 1j\hat{f}_2, \dots, \hat{f}_{n-1}, -1j\hat{f}_{-n}]) \end{aligned} \quad (8)$$

2.3 三维 FFT 的实现

回到我们需要的三维情形

$$\begin{aligned}
f_{i,j,k} &= \sum_{p,l,m=-n}^{n-1} \hat{f}_{p,l,m} e^{j((p+1/2)(i+1/2)+(l+1/2)(j+1/2)+(m+1/2)(k+1/2))\pi/n} \\
&= \sum_{p=-n}^{n-1} \sum_{l=-n}^{n-1} \sum_{m=-n}^{n-1} \hat{f}_{p,l,m} e^{j((i+1/2)+(l+1/2)(j+1/2)+(m+1/2)(k+1/2))\pi/n} \\
&= \sum_{p=-n}^{n-1} \left[\sum_{l=-n}^{n-1} \left(\sum_{m=-n}^{n-1} \hat{f}_{p,l,m} e^{j(m+1/2)(k+1/2)\pi/n} \right) e^{j(l+1/2)(j+1/2)\pi/n} \right] e^{j(p+1/2)(i+1/2)\pi/n}
\end{aligned} \tag{9}$$

$$\begin{aligned}
\hat{f}_{i,j,k} &= \frac{1}{(2n)^3} \sum_{p,l,m=-n}^{n-1} f_{p,l,m} e^{-j((p+1/2)(i+1/2)+(l+1/2)(j+1/2)+(m+1/2)(k+1/2))\pi/n} \\
&= \sum_{p=-n}^{n-1} \sum_{l=-n}^{n-1} \sum_{m=-n}^{n-1} f_{p,l,m} e^{-j((i+1/2)+(l+1/2)(j+1/2)+(m+1/2)(k+1/2))\pi/n} \\
&= \sum_{p=-n}^{n-1} \left[\sum_{l=-n}^{n-1} \left(\sum_{m=-n}^{n-1} f_{p,l,m} e^{-j(m+1/2)(k+1/2)\pi/n} \right) e^{-j(l+1/2)(j+1/2)\pi/n} \right] e^{-j(p+1/2)(i+1/2)\pi/n}
\end{aligned} \tag{10}$$

可以看到, 三维的 DFT 其实就是按照三个方向依次进行一维的 FFT, 逆变换也类似.

2.4 混淆误差

对于非线性项 $\omega \times u$, 由于 e^{1jkx_i} 关于 k 以 $2n$ 为周期, 所以做积会有混淆误差的产生, 实验结果说明, 混淆误差极大的影响问题的计算, 会使 u 的范数迅速趋于无穷

混淆误差的处理 我们将频谱宽度加倍. 即对 ω, u 分别进行长度为 $2n$ 的 fft, 然后在频谱的两边各补 n 个 0, 然后做 ifft.(实际等于在原空间内做了插值), 然后再做乘法, 接着对乘积做长为 $4n$ 的 fft, 然后截取频谱的中间 n 位, 再做长为 $2n$ 的 ifft 作为乘积的结果.

对称性的保持 我们原本展开的频谱 $k = -n, -n+1, \dots, n-1$, 实际的补 0 过程中, 我们仍然保持对称性, 即使 $\hat{f}_n = \text{hat}f_{-n}, -\text{hat}f_{-n}$. 因为我们特殊的存储方式, 在实际计算中, 只需要对长为 n 的数组后直接加上 n 个 0 即可.

容易看到, 这样的操作不会破坏数据本身的 (反) 对称性质.

2.5 离散微分算子

Δf 对于 Δ 算子, 我们有

$$\Delta I_n(f(x)) = \sum_{p=-n}^{n-1} -p^2 \hat{f}_p e^{jpx}$$

由此, 我们得到了 $f(x_i)$ 与 $\Delta f(x_i)$ 的 Fourier 系数的关系. 下面推导离散的算子

假设 f 的对称性为 $(\delta_1, \delta_2, \delta_3)$, $\delta = 1, -1$ 分别表示关于 x 对称与反对称, 2,3 对应于 y, z .

在 $[-\pi, \pi]^3$ 内一共 $(2n)^3$ 的点, 三维 DFT 由三个方向的 DFT 复合而成, 由 DFT 的线性性质, 我们知道对 x 方向的变换, 不会改变 y, z 方向上的对称性.

- 若 $\delta_1 = 1$, 则每一行关于 x 的 DFT 可由上面的 DCT 运用在前 n 个点上得到, 结果为 $[\hat{f}_0, \hat{f}_1, \dots, \hat{f}_{n-1}]$
- 若 $\delta_1 = -1$, 则每一行关于 x 的 DFT 可由上面的 DOT 运用在前 n 个点上得到, 结果为 $[1j\hat{f}_1, 1j\hat{f}_2, \dots, 1j\hat{f}_{n-1}, -1j\hat{f}_n]$

需要注意的是, 两种情况我们都可以从中恢复整个频谱. 然后对得到数据继续 y, z 上的操作, 最后得到的结果的 (i, j, k) 位置实际为 f 的三维的傅里叶系数的频率为 $(\phi(i, \delta_1), \phi(j, \delta_2), \phi(k, \delta_3))$ 的系数信息

$$\phi(i, \delta) = \begin{cases} i, & \delta = 1 \\ \begin{cases} i + 1, & i < n - 1 \\ -n, & i = n - 1 \end{cases} & \delta = -1 \end{cases}$$

然后在每个位置乘对应的 $-\phi(i, \delta_1)^2 - \phi(j, \delta_2)^2 - \phi(k, \delta_3)^2$, (在没有显式存储的位置也乘以对应的因子) 易见这样不会改变频谱每个方向上的对称性, 所以直接对此时所存储的频率做 z 方向的逆变换, 相当于对 Δf 的傅里叶系数做 z 方向的逆变换, 之后对 y, x 有相同的结果. 所以最终得到的是 $\Delta f_{i, j, k}$

$\partial_x f$ 对于 1 维情况下的求导, 我们有

$$\partial I_n(f(x))/\partial x = \sum_{p=-n}^{n-1} 1jp\hat{f}_p e^{jpx}$$

只用考虑一行的 DFT 即可, 实际的数据列为 $f_{-n}, f_{-n+1}, \dots, f_{n-1}$, 存储的仅有 f_0, f_1, \dots, f_{n-1} . 分奇偶两种情况

偶的情形 f 为偶, 即 $f_i = f_{-1-i}$ 时, DFT 结果为 $[\hat{f}_0, \hat{f}_1, \dots, \hat{f}_{n-1}]$, 且 $\hat{f}_i = \hat{f}_{-i}, \hat{f}_{-n} = 0$, 乘以 p 后得到 $f^0 = \partial I_n(f(x))/\partial x$ 的傅里叶系数 $\frac{\hat{f}_p^0}{1j}$, 容易看出 $\hat{f}_i^0 = -\hat{f}_{-i}^0$, 是一个满足 $\hat{f}_0^0 = 0$ 奇序列.

要从中得到 $f_0^0, f_1^0, \dots, f_{n-1}^0$, 我们需要对 $[1j\hat{f}_1^0, 1j\hat{f}_2^0, \dots, \hat{f}_{n-1}^0, -1j\hat{f}_{-n}^0]$ 做 IDST

其中 $\hat{f}_{-n}^0 = nj*\hat{f}_{-n} = 0$. 而我们存储的结果此时为 $[\hat{f}_0^0/1j, \hat{f}_1^0/1j, \dots, \hat{f}_{n-2}^0/1j, \hat{f}_{n-1}^0/1j]$, 将其前移一位, 然后在最后补零, 再乘 $-1 = (1j)^2$, 则变为 $[1j\hat{f}_1^0, 1j\hat{f}_2^0, \dots, 1j\hat{f}_{n-1}^0, 0] = [1j\hat{f}_1^0, 1j\hat{f}_2^0, \dots, 1j\hat{f}_{n-1}^0, -1j\hat{f}_{-n}^0]$. 对其进行 IDST 则有 f_i^0 .

奇的情形 f 为奇, 即 $f_i = -f_{-1-i}$ 时, DFT 结果为 $[1j\hat{f}_1, 1j\hat{f}_2, \dots, 1j\hat{f}_{n-1}, -1j\hat{f}_{-n}]$, 且 $\hat{f}_i = -\hat{f}_{-i}, \hat{f}_0 = 0$, 乘以 p (在存储的 n 个位置其实是乘 $[1, 2, \dots, n-1, -n]$) 后得到 $f^0 = \partial I_n(f(x))/\partial x$ 的傅里叶系数 \hat{f}_p^0 (频率- n 的项为 $-\hat{f}_{-n}^0$), 容易看出 $\hat{f}_i^0 = -\hat{f}_{-i}^0$, 但是它不满足 $\hat{f}_{-n}^0 = 0$, 所以不能直接通过 IDCT 来得到 f_i^0 , 只能将 \hat{f}_{-n}^0 强行设为 0 来完成. 会产生额外的误差. 但由于已知 f^0 是个偶函数, 所以这样设置是合理的.

要从中得到 $f_0^0, f_1^0, \dots, f_{n-1}^0$, 我们需要对 $[\hat{f}_0^0, \hat{f}_1^0, \dots, \hat{f}_{n-1}^0]$ 做 IDCT, 存储的为 $[\hat{f}_1^0, \hat{f}_2^0, \dots, \hat{f}_{n-1}^0, -\hat{f}_{-n}^0]$, 后移一位, 然后在最开始补零即可. 对其进行 IDCT 即可.

note 上面的操作, 都是对实数进行的, 所以我们的数据可以存储为实数

3 计算中对称性

3.1 初值的对称性

$$\mathbf{u}(\mathbf{x}, 0) = \begin{pmatrix} u(\mathbf{x}, 0) \\ v(\mathbf{x}, 0) \\ w(\mathbf{x}, 0) \end{pmatrix} = \begin{pmatrix} \sin x (\cos 3y \cos z - \cos y \cos 3z) \\ \sin y (\cos 3z \cos x - \cos z \cos 3x) \\ \sin z (\cos 3x \cos y - \cos x \cos 3y) \end{pmatrix}$$

\mathbf{u} 中, u 关于 x 反对称, 关于 y, z 对称, $2, 3(v, w)$ 分量关于 x, y, z 轮换

$$\begin{aligned} \omega(\mathbf{x}, 0) &= \begin{pmatrix} \omega_1(\mathbf{x}, 0) \\ \omega_2(\mathbf{x}, 0) \\ \omega_3(\mathbf{x}, 0) \end{pmatrix} = \nabla \times \mathbf{u}(\mathbf{x}, 0) \\ &= \begin{pmatrix} \partial_y w(\mathbf{x}, 0) - \partial_z v(\mathbf{x}, 0) \\ \partial_z u(\mathbf{x}, 0) - \partial_x w(\mathbf{x}, 0) \\ \partial_x v(\mathbf{x}, 0) - \partial_y u(\mathbf{x}, 0) \end{pmatrix} = \begin{pmatrix} -2 \cos 3x \sin y \sin z + 3 \cos x (\sin 3z \sin y + \sin z \sin 3y) \\ -2 \cos 3y \sin z \sin x + 3 \cos y (\sin 3x \sin z + \sin x \sin 3z) \\ -2 \cos 3z \sin x \sin y + 3 \cos z (\sin 3y \sin x + \sin y \sin 3x) \end{pmatrix} \end{aligned}$$

ω 中, ω_1 关于 x 对称, 关于 y, z 反对称, $2, 3$ 分量关于 x, y, z 轮换

ψ 的确定 $-\Delta\psi = \omega$, 满足周期边值, 然后, 由于方程本身不关注 ψ 的函数值, 而只是需要通过其求 $\mathbf{u} = \nabla\psi$, 所以可限制 ψ 的傅里叶系数中常数项系数为 0. 我们断言 ψ 的三个分量有与 ω 相同的对称性, 这会后面给予证明.

因此, 关于初始值, 我们有: $\mathbf{u}(\omega, \psi)$ 的第一个分量关于 x 反对称 (对称), 关于 y, z 对称 (反对称), 第二, 三个分量有类似的结果 (将 x, y, z 顺序轮换即可).

3.2 计算过程中对对称性的保持

空间上我们采用拟谱方法进行计算

DFT 的性质 $x(n)$ 是长度为 N 的序列, $X(k) = \text{DFT}[x(n)]$, 则

- 若 x 纯实 (虚), 且 x 对称, 即 $x(n) = x(N-1-n)$, 则 $X(k) = X(N-1-k)$, 且纯实 (虚).

- 若 x 纯实 (虚), 且 x 反对称, 即 $x(n)=-x(N-1-n)$, 则 $X(k)=-X(N-1-k)$, 且纯虚 (实).

显然, 对于逆变换 IDFT, 也有一样的结果

3.2.1 DFT(IDFT) 对对称性的保持

对于 $u \in \mathbb{R}^{n \times n \times n}$, u 在 x, y, z 有对称性或者反对称性, 则对 u 的所有行做一次 DFT(IDFT), 由上面的性质可知, 关于 x 的 (反) 对称性是保持的, 此外, 由 DFT(IDFT) 的线性性质, 此时关于 y, z 的 (反) 对称性是保持的. 所以对单个方向做 DFT(IDFT) 不会破坏三个方向上的对称性

而一个三维 DFT(IDFT) 可以通过对三个方向依次做 DFT(IDFT) 实现, 所有三维情况也保持对称性

3.2.2 Δ 以及 Δ^{-1} 对对称性的保持

对于 $\Delta\omega$ 的第一个分量 $\Delta\omega_1$, 有

$$\Delta\omega_1 = -IDFT(K \circ DFT(\omega_1))$$

其中 $K(i, j, k) = \lambda(i)^2 + \lambda(j)^2 + \lambda(k)^2$

$$\lambda(i) = i + \frac{1}{2} - n$$

易见 K 关于 x, y, z 均是对称的, 所以 $K(K^{-1}) \circ u$ 不改变 u 的对称性. 其中 K^{-1} 只会出现在解关于 ψ 的 Poisson 方程, $\psi_1 = -\Delta^{-1}\omega_1 = -IDFT(K^{-1} \circ DFT(\omega_1))$, 由之前的分析, 可直接令 ψ 的频率中对应 K 中 0 的项恒为 0, 所以是良定义且保持对称性的.

3.2.3 $\nabla \times \psi$ 对对称性的影响

假设 ψ 具有与初值中所具有的对称性

$$\mathbf{u} = \begin{pmatrix} u \\ v \\ w \end{pmatrix} = \nabla \times \psi = \begin{pmatrix} \partial_y \psi_3 - \partial_z \psi_2 \\ \partial_z \psi_1 - \partial_x \psi_3 \\ \partial_x \psi_2 - \partial_y \psi_1 \end{pmatrix}$$

在这里 ∂ 也是通过 DFT 实现的, 首先考察 $\partial_x u$ 对对称性的影响

$\partial_x u$ 对 \mathbf{u} 对称性的影响 我们知道 $\partial_x u = 1i * IDFT(M \circ DFT(u))$, 这里 DFT 以及 IDFT 都是一维的, 其中 $M(i, j, k) = \lambda(i)$, 所以 M 关于 x 反对称, 关于 y, z 对称, 因此, 有: $\partial_x u$ 保持 y, z 方向上的 (反) 对称, 同时将 x 方向的对称 (反对称) 改变为反对称 (对称).

回到 $\nabla \times \psi$, 第一个分量 $u = \partial_y \psi_3 - \partial_z \psi_1$, 其中 ψ_3 关于 z 对称, 关于 x, y 反对称; ψ_2 关于 y 对称, 关于 z, x 反对称. 所以 $\partial_y \psi_3$ 关于 x 反对称, 关于 y, z 对称; $\partial_z \psi_1$ 关于 x 反对称, 关于 y, z 对称. 因此有 u 关于 x 反对称, 关于 y, z 对称. 类似可以推导出第 2, 3 个分量的相应结果

因此有 $\nabla \times \psi$ 第一个分量具有与 ψ_1 恰好相反的对称性 (只在在这一节的假设下成立).

3.2.4 ω 对称性的保持

\mathbf{u}, ψ 的对称性的保持已经在上面给予了说明, 下面考察 ω . 由于时间上的离散采用的 Runge-kutta 方法, 所以只需要说明 $\nabla \times (\omega \times \mathbf{u}) - \nu \Delta \omega$ 具有和 ω 相同的对称性即可.

显然我们只需单独说明其中的非线性项 $\nabla \times (\omega \times \mathbf{u})$. 对于第一个分量, 有:

$$(\omega \times \mathbf{u})_1 = \omega_2 w - \omega_3 v$$

其中 ω_2 关于 y 对称, 关于 z, x 反对称, ω_3 关于 z 对称, 关于 x, y 反对称; v 关于 y 反对称, 关于 z, x 对称, w 关于 z 反对称, 关于 x, y 对称. 所以 $\omega_2 w$ 关于 x 反对称, 关于 y, z 对称.

所以 $(\omega \times \mathbf{u})_1$ 具有与 ω_1 相反的对称性, 类似可知第 2, 3 个分量有相应的结果. 根据之前所推导的 $\nabla \times$ 的性质, 我们有 $\nabla \times (\omega \times \mathbf{u})$ 保持 ω 的对称性

3.3 三个分量关于 x, y, z 轮换的性质

对于初值我们还有

$$u(x, y, z) = v(z, x, y) = w(y, z, x)$$

$$\omega_1(x, y, z) = \omega_2(z, x, y) = \omega_3(y, z, x)$$

$$\psi_1(x, y, z) = \psi_1(z, x, y) = \psi_1(y, z, x)$$

我们断言这种轮换的性质会在计算中得到保持

首先易见 Δ, Δ^{-1} 以及数乘, 加减都是保持三个分量的轮换的, 只需考察 \times 的影响.

3.3.1 $\nabla \times \mathbf{u}$

以 \mathbf{u} 为例, 轮换性质可以写成

$$w(x, y, z) = u(z, x, y), v(x, y, z) = u(y, z, x).$$

这在 x, y, z 是离散点对的时候成立. 对于连续情况

$$\begin{aligned} \nabla \times \mathbf{u} &= \begin{pmatrix} \partial w / \partial y - \partial v / \partial z \\ \partial u / \partial z - \partial w / \partial x \\ \partial v / \partial x - \partial u / \partial y \end{pmatrix} = \begin{pmatrix} \partial u(z, x, y) / \partial y - \partial u(y, z, x) / \partial z \\ \partial u(x, y, z) / \partial z - \partial u(z, x, y) / \partial x \\ \partial u(y, z, x) / \partial x - \partial u(x, y, z) / \partial y \end{pmatrix} \\ &= \begin{pmatrix} \partial_3 u(z, x, y) - \partial_2 u(y, z, x) \\ \partial_3 u(x, y, z) - \partial_2 u(z, x, y) \\ \partial_3 u(y, z, x) - \partial_2 u(x, y, z) \end{pmatrix} \end{aligned}$$

易见连续的 $\nabla \times$ 算子是保持轮换性质的, 而我们利用 DFT 进行离散替代其中连续的 ∂ 时, 若将其中的 $u(x, y, z)$ 视为离散的 n^3 个点的值, 显然有上面的等式依旧成立.

对于 $\omega \times \mathbf{u}$, 证明方式与上类似, 不再赘述.

4 算法设计

由于出现的所有向量的三个分量都具有轮换性质, 所以在计算中, 我们都只需要计算第一个分量. 然后利用数据的对称性, 我们只需要存储 $1/8$ 个正方体, 选择存储 $[-\pi, 0]^3$ 的数据 (有 $(N+1)^3$ 个点), 然后仅在需要做 DFT 时, 我们每次将一个长 $N+1$ 的数组利用 (反) 对称补全成 $2N$ 的数组, 然后存储 (相) 频率空间中的前 $N+1$ 位. 为了方便, 下面我们记 $N=N+1$ 为整体的规模大小

4.1 并行部分

进程数 支持进程数为 $size^3$ 的所有选择, 但是要求 $size^2 \parallel N$ 要成立. 下面记 $n = \frac{N}{size}$

4.1.1 子进程存储

我们将进程号 $myid$ 表示成 $myid = myorder[0] * size^2 + myorder[1] * size + myorder[2]$, 用该进程存储整个正方体中 z 方向第 $myorder[0]$ 层, y 方向第 $myorder[1]$ 层, x 方向第 $myorder[2]$ 层的一个小正方体的数据 U (存储 u), W (存储 ω_1). 正方体规模为 n .

FFT 所需的存储 我们需要一个 x 方向长 N , y 方向长 n , z 方向高为 $\frac{n}{size}$ 的存储空间 B , 用来进行某一个方向的 fft 以及 $ifft$. A, B 的存储顺序均为 $x > y > z$, 即保证 x 方向数据是连续存储的.

Δ, Δ^{-1} **所需存储** 只需用到第一个分量, 所以不需要额外存储

计算 $\omega \times u$ 所需存储 进行这个计算时, 之后还需要 ω 但是不在需要 u , 所以可以覆盖 U , 但是得保留 W . 然后计算第一个分量理论上需要第二三个分量, 虽然我们可以通过轮换性质从第一个分量中得到, 但在并行中, 这里所需的数据需要从别的进程中获得 (下一节会详述), 所以我们需要额外提供 $W2, W3, U2, U3$ 来存储接收到的数据.

不能用 U 来存储 $U2, U3$ 中的某一个, 是因为, 接收的同时, 也在将 U 发给别的数据, 形成了一个环, 且必须在发送 U 后才允许改写 U . 但是可以将之后叉乘的结果存在 U 中.

计算 $\nabla \times u, \nabla \times \psi$ 也类似, 除了 $U2, U3$ 外, 不需要额外的存储.

此外, 我们将每次新的 ψ_1 直接存储在 U 内, 然后再将 $\nabla \times \psi$ 的结果 u 存储在 U 内

总存储 综上, 每个进程中我们需要 6 个 n^3 的正方体以及一个长方体 B . 共 $7n^3$ 的存储. 处理混淆误差时, 需要前面提到的对应的 7 个容器, n 变为 $2n$, 所以需要 $56n^3$ 的存储. 全部的存储要求为 $63n^3$

4.1.2 子进程计算任务

数乘以及加减直接在每个子进程内完成相应的部分.

单个方向 fft

- 在进行 x 方向的 fft 时, 该进程将获取同处于 x 方向上的共 $size$ 个进程中的 z 方向上第 $myorder[2]$ 部分的数据
- 在进行 y 方向的 fft 时, 该进程将获取同处于 y 方向上的共 $size$ 个进程中的 z 方向上第 $myorder[1]$ 部分的数据
- 在进行 z 方向的 fft 时, 该进程将获取同处于 z 方向上的共 $size$ 个进程中的 y 方向上第 $myorder[0]$ 部分的数据

以 $n=4, size=2$ 为例, 详述第 0 号进程的信息交互

- 在进行 x 方向的 fft 时, 进程 0 获取同处于 x 方向上进程 1 中最上两层的数据, 即 $[:, :, 0:1]$, 并将其直接接受在长方体 B 的 $[n:2n-1, :, :]$ 部分, 同时将 0 进程中 A 的最上两层存入 B 的 $[0:n-1, :, :]$ 中. 这样进程 0 中的 B 中就有了连续存储的 $n/size*n$ 个长为 N 的向量, 正好是 x 方向上这 $size$ 个进程中需要做 1 维 fft 的上两层的向量.
- 在进行 y 方向的 fft 时, 进程 0 将获取同处于 y 方向上进程 1 中最上两层的数据, 即 $[:, :, 0:1]$, 与 x 方向不同的是, 我们将利用 mpi 的传输, 将其转置存入 B 中, 这将使得 B 中存有的连续的长为 N 的数据恰好是整个大正方体中 y 方向的向量.
- 在进行 z 方向的 fft 时, 进程 0 将获取同处于 y 方向上进程 1 中 $y=0,1$ 对应的两层数据, 即 $[:, 0:1, :]$, 与 x 方向不同的是, 我们将利用 mpi 的传输, 将其转置存入 B 中, 这将使得 B 中存有的连续的长为 N 的数据恰好是整个大正方体中 z 方向的向量.

三维 fft 在如上进行完 x 方向上的 fft 后, 我们将数据返回原来的进程中的 A 的对应位置, 然后进行 y 方向, 再进行 z 方向 fft.ifft 的做法与之类似.

$\nabla \times \mathbf{u}$ 先从相应的子进程获得该进程所需的 v, w . 具体的

- 从 $myid_v = myorder[2] * size^2 + myorder[0] * size + myorder[1]$ 按 $z > x > y$ 的顺序传出 U, 然后在 $myid$ 进程内以正常的 $x > y > z$ 顺序接收到 U2 中;
- 从 $myid_w = myorder[1] * size^2 + myorder[2] * size + myorder[0]$ 按 $y > z > x$ 的顺序传出 U, 然后在 $myid$ 进程内以正常的 $x > y > z$ 顺序接收到 U3 中;

相应的, 将 U 从 $myid$ 按 $z > x > y$ 发送到 $myorder[1] * size^2 + myorder[2] * size + myorder[0]$ 的 $U2$, 按 $z > x > y$ 发送到 $myorder[2] * size^2 + myorder[0] * size + myorder[1]$ 的 $U3$.

之后需要的求导 $(\partial w / \partial y - \partial v / \partial z)$, 可以直接通过一维 FFT 进行

$\omega \times \mathbf{u}$ 与上面类似, 获得相应的 ω_2, ω_3, v, w 后, 在对应位置相乘即可. 所得结果存储在 U 中

传输顺序 详细的, 一个进程一次 fft 需要进行 $size$ 次传输 (本进程内从 A 到 B 对应数据用 MPI 进程到自身的数据传输完成), 为了使交互顺利进行, 我们对这 $size$ 个进程编号: $1, 2, \dots, size$, 每个进程 i 用 $sendrecv$ 函数依次向 $i, i+1, i+2, \dots, i-1$ 发送数据, 同事从 $i, i-1, i-2, \dots, i+1$ 接受数据.

B 中的 FFT 对 B 中的第 i 个向量做 FFT 时, 直接对长为 N 的数组做 DCT(偶对称), DST(奇对称). 直接给 $fftw$ 的形参 in, out 均赋值第 i 个向量头所在的地址, 即一个 $double*$ 即可实现该向量的 fft , 同时结果直接覆盖原数据, 而不需要另外的存储抑或是赋值操作.

5 数值实验

计算无粘问题 $\nu = 0$, 分别取了 $n = 8, 16, 32, 64, 128, 256$; $\tau = 0.01, 0.1$. 在 $n=128$ 和 256 时, 计算到 $T=10$, 此时变化幅度太小, 所以我们单独观察 ω , 而不将 u 一起绘出, 结果见图 ??; 对较小的 n 计算到了 $T=1000$, 见 ??. 此外, 选取 $\tau = 10$, 对 $n=16$ 计算至 $T=3700$, 见图 ?? (随后范数迅速趋于无穷)

5.1 结论

- 在不是特别长的时间内, 比如 $n=8$ 时, $T=1000$ 之内, u, ω 的无穷范数的变化比较稳定, 表现的像一条直线, 实际上更接近一条二次曲线. 其一阶变化率处于 10^{-7} , 二阶变化率处于 10^{-12} .
- 在上述情况下 (无穷范数变化稳定, 接近直线), u_1, ω_1 最大模所在的位置都保持不变

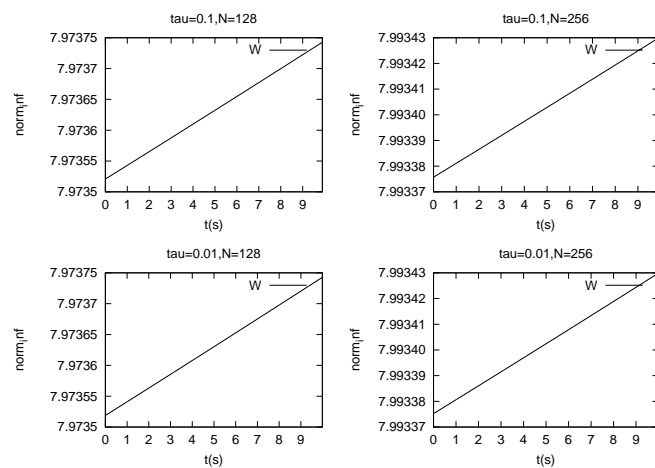


图 1:

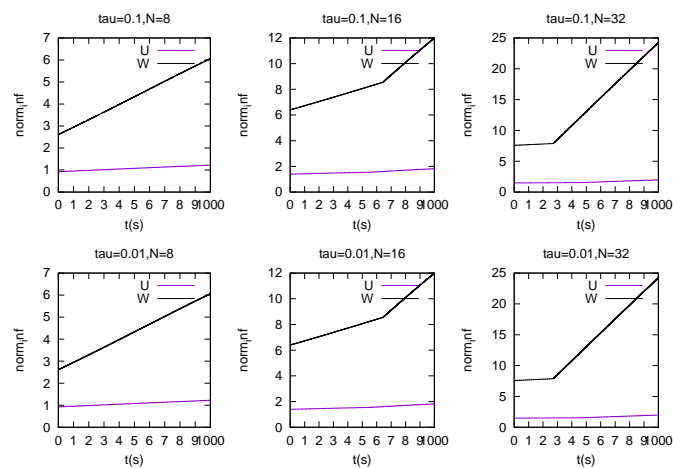


图 2:

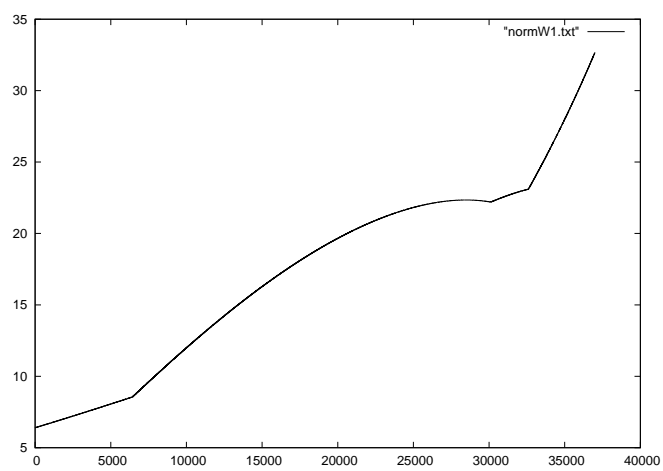


图 3:

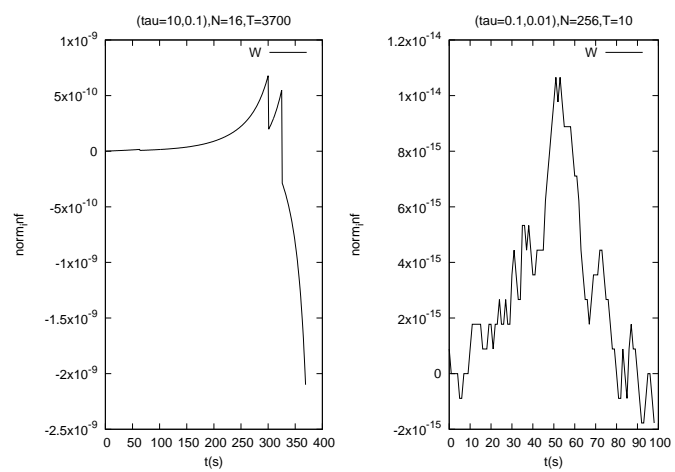


图 4:

- 在 ω 的无穷范数的变化率发生肉眼可见的变化时, 其最大模所在的位置发生一次改变.
- u 的最大模的初始位置永远会在第一次迭代后发生变化, 这可能是因为, 对于 ω , 我们实际记录的是 $t = 1, 2, 3, \dots, T$ 时刻的状态, 而记录的第 i 个 u , 其实是通过 $\nabla_h \omega^{i-1}$ 计算得到的. 我们接下来忽视 u_0 的情况
- u 的最大模的位置也会发生变化, 但与 ω 没有直接的联系. 两者不在同一时间发生变化, 甚至发生变化的次数也不相同. 在 $n=32, \tau = 0.1, T = 1000$ 的算例中, ω 发生一次变化, 而 u 没发生变化
- u 的无穷范数变化远比 ω 稳定, 在 $T=3700, n=16$ 的例子中, ω 即将趋于无穷, 而 u 的无穷范数还稳定在 1.5 附近.

发生变化前最大模所处的位置 我们存储点的位置在 $(\frac{k}{n} + \frac{1}{2n})\pi$ 上:

- $n=256$ 时, U 的最大模在 $[(\frac{1}{2} - \frac{1}{n})\pi, (\frac{38}{128} + \frac{1}{n})\pi, \frac{1}{n}\pi]$; ω 的最大模在 $[\frac{1}{n}\pi, (\frac{1}{2} - \frac{1}{n})\pi, (\frac{1}{2} + \frac{1}{n})\pi]$.
- $n=128$ 时, U 的最大模在 $[(\frac{1}{2} - \frac{1}{n})\pi, \frac{1}{n}\pi, (\frac{19}{64} + \frac{1}{n})\pi]$; ω 的最大模在 $[\frac{1}{n}\pi, (\frac{1}{2} - \frac{1}{n})\pi, (\frac{1}{2} + \frac{1}{n})\pi]$.
- $n=64$ 时, U 的最大模在 $[(\frac{1}{2} - \frac{1}{n})\pi, \frac{1}{n}\pi, (\frac{9}{32} + \frac{1}{n})\pi]$; ω 的最大模在 $[\frac{1}{n}\pi, (\frac{1}{2} - \frac{1}{n})\pi, (\frac{1}{2} + \frac{1}{n})\pi]$.
- $n=32$ 时, u 的最大模在 $[(\frac{1}{2} - \frac{1}{n})\pi, \frac{1}{n}\pi, (\frac{4}{16} + \frac{1}{n})\pi]$; ω 的最大模在 $[\frac{1}{n}\pi, (\frac{1}{2} - \frac{1}{2n})\pi, (\frac{1}{2} + \frac{1}{n})\pi]$.

n 的影响 对同一个 τ , 随着 n 的增大, ω 的范数曲线发生转折 (对应最大模位置的移动) 的时间点在前移.

τ 的影响 见图 ?? 对同一个 n , 不同的 τ 算至同一时间 T , 无穷范数的曲线基本重合, 说明算法对于 ODE 问题

$$\frac{d\omega}{dt} = f(\omega)$$

的计算较精确. 可以观察随着 τ 的增大, 两组 τ 对应时间点上无穷范数的差随着 τ 的差距变大, 说明 RungeKutta 方法对于该 ode 至少是有阶的. 由于不是主要讨论的问题, 不做详细叙述.